



# نشریه علمی مکانیک سازه‌ها و شاره‌ها

DOI: 10.22044/jsfm.2021.10168.3271

## تأثیر نسبت همارزی هوا-سوخت بر فرآیند احتراق در کوره واحد آمونیاک شرکت پتروشیمی رازی

علیرضا دنه‌ذفولی<sup>۱\*</sup>، شیوا خمیسی<sup>۲</sup> و سیدسعید بحرینیان<sup>۳</sup>

<sup>۱</sup> استادیار گروه مهندسی مکانیک، دانشکده مهندسی، دانشگاه شهید چمران اهواز، اهواز، ایران

<sup>۲</sup> دانش آموخته کارشناسی ارشد گروه مهندسی مکانیک، دانشکده مهندسی، دانشگاه شهید چمران اهواز، اهواز، ایران

<sup>۳</sup> دانشیار گروه مهندسی مکانیک، دانشکده مهندسی، دانشگاه شهید چمران اهواز، اهواز، ایران

مقاله مستقل، تاریخ دریافت: ۱۳۹۹/۰۷/۲۳؛ تاریخ بازنگری: ۱۴۰۰/۰۵/۲۳؛ تاریخ پذیرش: ۱۴۰۰/۰۸/۱۳

### چکیده

تأثیر نسبت همارزی سوخت به هوا بر فرآیند احتراق در کوره واحد آمونیاک شرکت پتروشیمی رازی در این مقاله مورد آنالیز عددی قرار گرفته است. هندسه سه بعدی کوره براساس فرض سوخت و هوای غیرپیش‌آمیخته مدل شده است. مدل سازی جریان دائم تراکم‌پذیر احتراق آشفته واکنشی با معادلات اساسی بقا و در نظر گرفتن اثرات انتقال حرارت هدایت، جابجایی تشعشع رائمه شده است. مکانیزم‌های زلدوویج و فنیمور برای محاسبه انتشار  $\text{NO}_x$  استفاده شده‌اند. نتایج عددی با دقت ۹۹ درصد در مقایسه با داده‌های تجربی روی یک شبکه محاسباتی با ۳۱۶۵۳۴۹ المان به دست آمده است. بررسی نتایج نشان داد که کاهش نسبت همارزی، باعث نزدیک شدن بیشینه دمای شعله به نازل سوخت ورودی و کاهش طول شعله می‌شود. دمای بالا در خروجی کوره به دلیل اختلاط بهتر جریان‌ها در نسبت‌های هم-ارزی بزرگ ایجاد می‌شود. میزان تولید آلاینده  $\text{NO}_x$  در نسبت همارزی‌های ۰/۸۳۳، ۰/۷۱۴، ۰/۶۲۵ و ۰/۵۶۲ به ترتیب ۵۰/۶۲، ۵۳/۲۷ و ۵۶/۲ می‌باشد. درصد نسبت به حالت هوای نظری افزایش یافت.

**کلمات کلیدی:** احتراق؛ نسبت همارزی؛ کوره آمونیاک؛ شرکت پetroشیمی رازی.

## Effect of Air-Fuel Equivalence Ratio on Combustion Process in Furnace of Razi Petrochemical Company's Ammonia Unit

A. Daneh-Dezfuli<sup>1,\*</sup>, Sh. Khamisi<sup>2</sup>, S.S. Bahrainian<sup>3</sup>

<sup>1</sup> Asst. Prof., Dept. of Mech. Eng., Faculty of Engineering, Shahid Chamran University of Ahvaz, Ahvaz, Iran.

<sup>2</sup> M.Sc. Graduated, Dept. of Mech. Eng., Faculty of Engineering, Shahid Chamran University of Ahvaz, Ahvaz, Iran.

<sup>3</sup> Assoc. Prof., Dept. of Mech. Eng., Faculty of Engineering, Shahid Chamran University of Ahvaz, Ahvaz, Iran.

### Abstract

Effect of fuel-to-air equivalence ratio on combustion process in the furnace of Razi petrochemical company's ammonia unit is numerically analyzed in this paper. Three-dimensional geometry of the furnace has been modelled based on non-premixed fuel and air assumption. Modeling of steady-state compressible reactive-turbulent combustion is presented by the basic conservation equations considering the effects of conductive, convective and radiative heat transfers. Zeldovich and Fenimore mechanisms have been employed to account thermal and prompt  $\text{NO}_x$  emission. Numerical results obtained with 99% accuracy compared to experimental data on a computational grid possessing 3165349 elements. Results showed that reduction of equivalence ratio causes the maximum flame temperature to approach inlet fuel nozzle and decrease flame length. High temperature at the furnace outlet is caused by better mixing of flows in great equivalence ratios. The production of  $\text{NO}_x$  pollutants in the equivalence ratios of 0.833, 0.714 and 0.625 increases by 50.62, 53.23 and 56.2 percentages respectively with respect to the stoichiometric state.

**Keywords:** Combustion; Equivalence Ratio; Ammonia Furnace; Razi Petrochemical Company.

\* نویسنده مسئول؛ تلفن: ۰۶۱-۳۳۳۳۰۰۱۱-۱۹

آدرس پست الکترونیک: [a.danehdezfuli@scu.ac.ir](mailto:a.danehdezfuli@scu.ac.ir)

**۱- مقدمه**

کردند [۸]. اثر روش مدل‌سازی برهمکنش آشفتگی و احتراق در تعامل با روش‌های دو مرحله‌ای و به کارگیری مکانیزم‌های واکنشی اسکلتی با درصد غلظت متفاوت اکسیژن بررسی شد. مقادیر سرعت متوسط و انرژی جنبشی آشفتگی با روش‌های مختلف آشفتگی به خوبی پیش‌بینی شد؛ همچنین این مدل‌سازی مقادیر کمتری را برای زمان شروع احتراق پیش‌بینی کرد. یاپاچی و همکاران تأثیر نسبت‌های مختلف همارزی هوا-سوخت و همچنین دبی حرارتی سوخت را بر شیوه سازی عددی فرآیند احتراق متان-هوای در یک مشعل مطالعه کردند. خروجی‌ها نشان دادند که بیشترین تغییرات گرادیان دما در امتداد خط مرکزی مشعل رخ می‌دهد [۹]. ساریو و همکاران احتراق نفت سنگین در یک کوره استوانه‌ای آزمایشگاهی را مدل سازی کردند. نتیجه‌گیری شد که نتایج نه تنها به انتخاب مدل آشفتگی، بلکه به بسیاری از مفروضات دیگر مدل‌سازی مانند مدل‌های شیمی و احتراق، روش گستره‌سازی عددی و تعریف دقیق شرایط مرزی بستگی دارند. با این حال، تعیین مقدار تاثیر هر یک از این مفروضات بر پیش‌بینی‌های نهایی دشوار است [۱۰]. ایلورف و سارا تأثیر هوای اضافی بر دینامیک احتراق در یک کوره عمودی را بررسی کردند. نشان داده شده است که دینامیک سیالات محاسباتی می‌تواند به عنوان ابزاری قدرتمند برای پیش‌بینی مشخصات احتراق استفاده شود [۱۱]. تو و همکاران مطالعه عددی احتراق پروپان در داخل یک کوره استوانه‌ای در مقیاس آزمایشگاهی را ارائه دادند. نتیجه شده است که مدل آشفتگی  $k-\epsilon$  استاندارد توانایی بهتری نسبت به دیگر مدل‌ها در شبیه‌سازی‌های احتراق دارد [۱۲]. مطالعه عباسی و همکاران در ارتباط با مشخصات جریان در یک محفظه احتراق پاشش مستقیم نشان داد که مدل آشفتگی تنش رینولدز در مقایسه با مدل  $k-\epsilon$  Realizable احتراق مطالعه کمتری دارد [۱۳].

موسوی ترشیزی و همکاران اثر هوای اولیه مشعل نیروگاه شازند بر شکل و محل شعله را مورد مطالعه قرار دادند [۱۴]. این مطالعه بر اساس ۸ درصد هوای اضافی برای احتراق سوخت گازی و در نظر گرفتن احتراق به صورت غیرپیش‌آمیخته بود. اثر پدیده‌های نظیر چرخش جریان مورد بررسی قرار نگرفت که موجب ورود خطای

امروزه نزدیک به ۸۰ درصد از انرژی تولیدی جهان از احتراق سوخت‌های گازی نظیر متان، اتان و اتیلن به دست می‌آید [۱]. مقررات مربوط به کنترل و کاهش آلاینده‌های حاصل از احتراق باعث ایجاد تصمیم جدی در ارائه سیستم‌های احتراق کارآمدتر شده است [۲]. شبیه‌سازی عددی کوره‌های احتراق یکی از تکنیک‌های کاربردی جهت رسیدن محصول‌ها به شرایط فرآیندی موردنظر، کاهش مصرف سوخت و انرژی، بهبود کارایی حرارتی و کاهش آلودگی‌ها است [۳-۴]. در این مقاله، به شبیه‌سازی انتقال حرارت در کوره عمودی واحد آمونیاک پتروشیمی رازی پرداخته می‌شود.

مطالعات گسترده‌ای جهت بررسی تجربی و عددی عملکرد کوره‌های احتراق انجام شده است. استفاده از روش‌های مختلف برای مدل‌سازی آلاینده اکسیدهای نیتروژن و مقایسه با نتایج تجربی توسط مانچینی و همکاران گزارش شد [۵]. اگرچه تطابق مناسبی در نواحی جت سوخت مشاهده نشد، اما در سایر نواحی، مقادیر پیش‌بینی شده برای گونه‌ها و مقادیر آلاینده مناسب بود. احتراق جت پروپان در جریان پیش‌گرم شده و رقيق اکسیژن با هدف بررسی اثر دمای سوخت بر جریان به صورت عددی توسط یانگ و بلازیاک مورد مطالعه قرار گرفت [۶]. نتایج عددی مدل‌سازی با روش برهمکنشی شکست گردابه و تابع چگالی احتمال کسر مخلوط با مقادیر تجربی مقایسه شده است. مکانیزم‌های دمایی و سریع (Prompt) نیز برای محاسبه اکسیدهای نیتروژن مورد استفاده قرار گرفته شد. نتایج نشان داد که این روش در تخمین شکل شعله و توزیع دمایی مناسب است. افزایش ناحیه شعله با کاهش مقدار اکسیژن و کاهش اکسیدنیتریک با افزایش دمای ورودی سوخت از دیگر نتایج این بررسی بود. ووتالورو و ووتالورو اثر هوای اضافی بر نحوه کارکرد کوره را شبیه‌سازی عددی نمودند [۷]. فرآیند احتراق به صورت غیرپیش‌آمیخته در نظر گرفته شده است. مقدار دما داخل کوره با افزایش درصد هوای اضافی افزایش یافت. این مسئله می‌تواند تشکیل دوده در بخش‌های مختلف کوره را به همراه داشته باشد. دی و همکاران سیستم احتراق شعله هم محور را حل عددی

مجتمع صنعتی فولاد اسفراین را انجام دادند. نتایج بررسی نشان داده است که میزان گرمای تولیدی با افزایش طول اختلاط به طور ناچیزی کاهش پیدا می‌کند [۲۱]. میرباقری و همکاران تاثیر توان مشعل شعله تحت بر ایجاد توزیع دمای یکنواخت در کوره‌های کراکینگ را به صورت عددی شبیه‌سازی کردند. نشان داده شده است که افزایش مومنتوم جریان در ورودی مشعل‌ها، باعث افزایش توان حرارتی مشعل‌ها خواهد شد [۲۲].

شبیه‌سازی عملیات احتراق در کوره پیش‌گرم واحد آمونیاک شرکت پتروشیمی رازی تا پیش از این انجام نشده است. هدف مقاله حاضر، ارزیابی تاثیر نسبت همارزی هوا به سوخت بر عملکرد احتراق واکنشی آشفته در این کوره است. این کوره به شکل استوانه عمودی دارای یک کویل با هندسه نامتقاضان است. بنابراین به صورت سه‌بعدی شبیه‌سازی می‌شود. فرآیند احتراق بر مبنای انتقال حرارت‌های هدایت، جابجایی و تشعشع در نظر گرفته شده است. محصولات احتراق شامل دی‌اکسید کربن، نیتروژن، بخار آب و آلاینده‌ها است. تولید آلاینده‌ها با مکانیزم‌های دمایی و سریع مدل شده است. سیال درون کویل بخار آمونیاک است. سوخت و هوا به صورت غیرپیش‌آمیخته وارد کوره می‌شوند.

## ۲- مدل‌سازی هندسی

اجزای تشکیل‌دهنده فیزیک مساله شامل کوره، کویل مارپیچ و مشعل است. سوخت و هوا از پایین کوره وارد می‌شوند. هندسه کوره در مژاول مدل سازی نرم‌افزار انسیس نسخه ۲۰۱۹ تهیه شده است. نمایی از کوره به همراه نقشه آن در شکل ۱ نشان داده شده است.

مشخصات اجزای تشکیل‌دهنده کوره به همراه اندازه آنها در جدول ۱ خلاصه شده‌اند. جهت مدل‌سازی هندسی مساله، ابتدا مدل کویل همراه با درنظر گرفتن ضخامت دیواره آن طراحی شده است. هندسه کویل در شکل ۲-الف نمایش داده شده است. سپس، هندسه کوره طراحی شده است تا مدل نهایی به دست آید. سطوح ورودی هوا و متان در پایین کوره مدل شده است. در شکل ۲-ب مدل نهایی طراحی شده کوره نمایش داده شده است.

زیادی در نتایج شد. سه‌رایی کاشانی تاثیر نسبت همارزی هوا بر راندمان بویلر در نیروگاه‌های شهید منتظری اصفهان، زرگان اهواز و بندرعباس مقایسه کرده است [۱۵]. نتایج نشان داد که کارکرد بهینه بویلر به ازای نسبت‌های همارزی متفاوت از مشخصات اشاره شده در مدارک طراحی سازنده فاصله می‌گیرد. جلیلی‌مهر و همکاران تاثیر افزایش دمای گاز ورودی بر تشکیل دوده و تابش درخشانی ناشی از آن را مورد ارزیابی قرار دادند [۱۶]. پیشگم ساختن سوخت ورودی به دلیل افزایش سهم تابش درخشانی، سبب افزایش راندمان نسبت به حالت بدون پیش‌گرمایش سوخت می‌شود. شریعتی و ثقه‌الاسلامی با هدف کاهش آلاینده اکسید نیتروژن به شبیه‌سازی دوبعدی احتراق پیش‌آمیخته متان و هوا در یک مشعل با محیط متخلف پرداختند [۱۷]. خروجی این شبیه‌سازی به ارائه یک هندسه جدید برای مشعل شد. کیانی و همکاران به برآورد تاثیر دو پارامتر زاویه بین دو مشعل و پیش‌گرم کردن هوا و سوخت پرداختند [۱۸]. نتایج نشان داده که این دو پارامتر اثر مستقیم بر دمای بیشینه شعله و اکسید نیتروژن تولیدشده دارند. حشمتی و میرساجدی به بررسی آزمایشگاهی اثر تغییرات طول نازل مشعل بر مشخصه‌های احتراقی شعله پیش‌آمیخته چرخشی پرداختند. نتایج نشان دادند که با افزایش نسبت همارزی، شکل شعله از حالت پایدار کاسه‌ای شکل معلق به سمت یک شعله گردابه‌ای شکل متصل پیش‌می‌رود. این تغییر حالت طی یک فرآیند گذار انجام می‌شود و شکل شعله در طی چند گام تغییر کرده تا از حالت پایدار معلق به حالت متصل تبدیل شود؛ همچنین میزان آلاینده اکسیدهای نیتروژن دارای رابطه افزایشی با نسبت همارزی هستند [۱۹]. زرگرباشه و همکاران به بررسی تجربی اثر مشخصه‌های جریان ورودی و طول محفظه بر دینامیک شعله پیش‌آمیخته جزیی در راکتورهای ابعاد مزو استوانه‌ای شکل با قطر ثابت و طول‌های مختلف پرداختند. بر این اساس گزارش شده است که دینامیک شعله به ترتیب از تغییرات نسبت اختلاط، طول راکتور، دبی حجمی اکسیژن و نهایتاً دبی حجمی سوخت اثر می‌پذیرد که باعث تغییرات در سرعت جریان ورودی و نسبت همارزی می‌گردد [۲۰]. حاتمی و قلی‌پور مطالعه تجربی و بهینه‌سازی عددی پارامترهای هندسی مشعل در کوره پیش‌گرم خط پرس

### جدول ۱- مشخصات اجزای کوره واحد آمونیاک

اندازه (متر)	مشخصه
<u>کوره</u>	
۰/۱	قطر ورودی گاز متان
۰/۲۳	قطر ورودی هوا
۱۲	ارتفاع کلی کوره
۱	قطر قسمت گازهای خروجی
۳	ارتفاع قسمت گازهای خروجی
<u>کویل مارپیچ</u>	
۰/۱۵۲۴	قطر داخلی مقطع کویل
۰/۱۶۸۲۸	قطر خارجی مقطع کویل
۱۴	تعداد مارپیچ
۲/۷	قطر مارپیچ
۱۲۴/۹۷	طول کلی کویل
<u>مشعل</u>	
۰/۱	قطر نازل سوخت
۰/۲۳	قطر هیدرولیکی نازل هوا

### ۳- مدل سازی ریاضی

جريان درون کوره به صورت آشفته و واکنشی است؛ بنابراین لازم است تا علاوه بر میدان جريان، روابط واکنش گونه‌های شیمیایی نیز بيان شوند.

### ۳- معادلات بقا

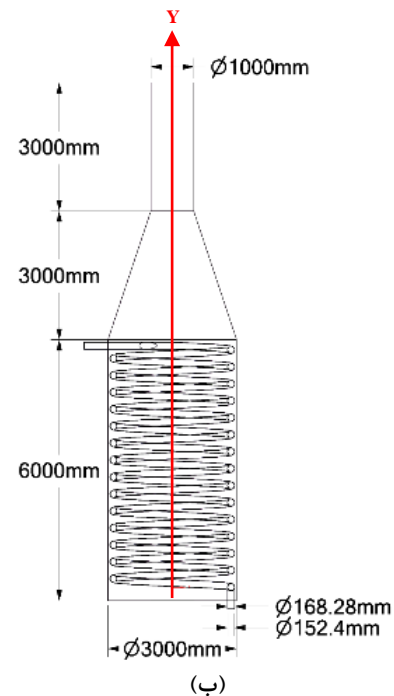
معادله بقای جرم حاکم بر جريان گاز دائم سه بعدی تراکم-پذیر آشفته را براساس فرمولاسیون انتقال گونه‌ها می‌توان به صورت رابطه (۱) بيان نمود.

$$\frac{\partial}{\partial x_i} (\rho u_i Y_{i'}) = - \frac{\partial}{\partial x_i} J_{i',i} + R_{i'} \quad (1)$$

که در آن،  $x_i$  معرف محورهای مختصات در جهات  $z$ ،  $y$ ،  $x$ ،  $i = x, y, z$  میدان سرعت،  $\rho$  چگالی مخلوط،  $Y_{i'}$  کسر جرمی گونه  $i'$ ،  $u_i$



(الف)



شكل ۱- کوره واحد آمونیاک پتروشیمی رازی (الف) هندسی واقعی و (ب) نقشه کروکی

$R_{i'}$  نرخ تولید و مصرف گونه  $i'$  در واکنش شیمیایی و  $J_{i',i}$  جمله پخش جرم است که برای جریان آشفته به صورت رابطه (۲) بیان می‌شود [۹].

$$J_{i',i} = - \left( \rho D_{i',m} + \frac{\mu_t}{S c_t} \right) \frac{\partial Y_{i'}}{\partial x_i} - D_{T,i'} \frac{1}{T} \frac{\partial T}{\partial x_i} \quad (2)$$

که در آن،  $\mu_t$  لزجت آشфтگی است.  $S c_t$  عدد اشمیت موثر بوده که برای جریان آشفته برابر  $7/0$  در نظر گرفته می‌شود. دما و  $D_{T,i'}$  ضریب پخش دمایی است.  $D_{i',m}$  ضریب پخش گونه  $i'$  در مخلوط  $m$  بوده و بفرم زیر است [۹].

$$D_{i',m} = \frac{1 - X_{i'}}{\sum_{j',j' \neq i'} X_{i'} / D_{i'j'}} \quad (3)$$

که در آن،  $X_{i'}$  کسر مولی گونه  $i'$  است.  $D_{i'j'}$  ضریب پخش دوتایی گونه  $i'$  در گونه  $j'$  است. معادله مومنتوم برای چنین جریانی عبارت است از [۲۳].

$$\frac{\partial}{\partial x_j} (\rho u_i u_j) = \frac{\partial (\tau_{ij})_e}{\partial x_j} - \frac{\partial p}{\partial x_i} \quad (4)$$

که تانسور تنش برشی موثر،  $(\tau_{ij})_e$  در آن عبارت است از

$$(\tau_{ij})_e = \mu_e \left( \frac{\partial u_i}{\partial x_j} + \frac{\partial u_j}{\partial x_i} \right) - \left( \frac{2}{3} \mu_e \frac{\partial u_l}{\partial x_l} \right) \quad (5)$$

که در آن  $p$  فشار است. پارامتر لزجت موثر،  $\mu$  برابر با مجموع لزجت مولکولی  $\mu$  و لزجت آشفتگی  $\mu$  است. لزجت آشفتگی بر حسب انرژی جنبشی آشفتگی،  $k$  و نرخ اضمحلال آن،  $\epsilon$  به صورت زیر محاسبه می‌شود.

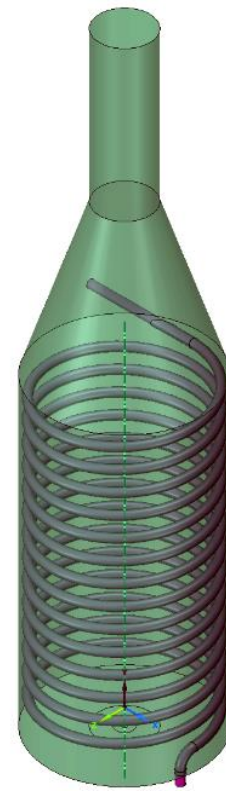
$$\mu_t = \rho C_\mu \frac{k^2}{\epsilon} \quad (6)$$

مقدار ثابت  $C_\mu$  در معادله فوق برابر  $0.09$  است. مقادیر  $k$  و  $\epsilon$  از حل معادلات مدل آشفتگی به دست می‌آیند. معادله انرژی جریان کوره به فرم رابطه (۷) نوشته می‌شود [۹] که در آن،  $J_{j'}$  شار پخش گونه  $j'$  و  $S_h$  گرمای واکنش شیمیایی است. مقدار انرژی  $E$  از رابطه (۸) به دست می‌آید. مقدار آنتالپی مخلوط،  $h$  با رابطه (۹) محاسبه می‌شود که در آن،  $h_{j'}$  آنتالپی گونه  $j'$  است که به شکل رابطه (۱۰) است.

$$\begin{aligned} \frac{\partial}{\partial x_i} [u_i (\rho E + p)] &= \\ \frac{\partial}{\partial x_i} \left[ \lambda_e \frac{\partial T}{\partial x_i} - \sum_{j'} h_{j'} J_{j'} + u_j (\tau_{ij})_e \right] + S_h &+ \end{aligned} \quad (7)$$



(الف)



(ب)

شکل ۲- مدل طراحی شده به کمک کامپیوتو (الف) هندسه کوبل و (ب) هندسه نهایی کوره

### ۳-۳- مدل‌سازی جریان آشفتگی

در غیاب اثرات نیروهای شناوری، معادلات انتقال انرژی جنبشی آشفتگی و نرخ اضمحلال آن براساس مدل  $k-\varepsilon$  استاندارد به فرم زیر هستند [۲۴].

$$\frac{\partial}{\partial x_i} (\rho u_i k) = \frac{\partial}{\partial x_j} \left[ \left( \mu + \frac{\mu_t}{\sigma_k} \right) \frac{\partial k}{\partial x_j} \right] + G_k - \rho \varepsilon \quad (۱۹)$$

$$\begin{aligned} \frac{\partial}{\partial x_i} (\rho u_i \varepsilon) &= \frac{\partial}{\partial x_j} \left[ \left( \mu + \frac{\mu_t}{\sigma_\varepsilon} \right) \frac{\partial \varepsilon}{\partial x_j} \right] \\ &\quad + C_1 \frac{\varepsilon}{k} G_k - C_2 \rho \frac{\varepsilon^2}{k} \end{aligned} \quad (۲۰)$$

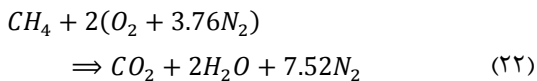
که در آن،

$$G_k = \mu_t \left( \frac{\partial u_i}{\partial x_j} + \frac{\partial u_j}{\partial x_i} \right) \frac{\partial u_i}{\partial x_i} \quad (۲۱)$$

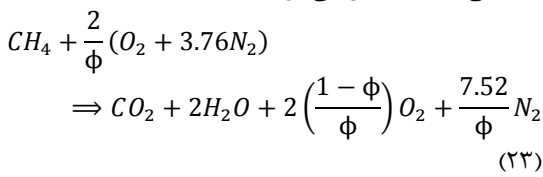
مقادیر ثابت  $C_1$ ،  $C_2$ ،  $\sigma_k$  و  $\sigma_\varepsilon$  در معادلات فوق به ترتیب برابر با  $۱/۴۴$ ،  $۱/۹۲$ ،  $۱/۰$  و  $۱/۳$  هستند.

### ۴-۳- احتراق سوخت و هوای

سوخت شامل متان و هوای به صورت ترکیب نیتروژن و اکسیژن درنظر گرفته شده است. به ازای یک مول سوخت متان برای اکسیداسیون با هوای نظری (تئوری)، رابطه واکنش شیمیایی احتراق کامل به صورت رابطه (۲۲) است [۲۵].



گاهی مقدار هوای موجود برای احتراق بیش از مقدار هوای نظری است. در این حالت یک مخلوط رقیق با واکنش شیمیایی (۲۳) تشکیل می‌شود [۹].



که در آن،  $\phi$  نسبت هم‌ارزی هوای-سوخت بوده و به صورت نسبت دبی جرمی هوای به سوخت تئوری به ترتیب با مقدار  $۰/۹۶$  به  $۰/۰۵۵۷$  کیلوگرم بر ثانیه تقسیم بر این نسبت در حالت واقعی تعریف می‌گردد [۹]. در یک مخلوط رقیق،  $۰ < \phi \leq ۱$  است.

$$E = h - \frac{p}{\rho} + \frac{u_i^2}{2} \quad (۸)$$

$$h = \sum_{j'} m_{j'} h_{j'} \quad (۹)$$

$$h_{j'} = \int_{T_{ref}}^T C_{p,j'} dT \quad (۱۰)$$

که در آن،  $C_p$  ضریب گرمای ویژه در فشار ثابت و دمای  $T_{ref}$  مرجع است.  $\lambda_e$  ضریب هدایت حرارتی موثر است که به صورت زیر برآورد می‌شود.

$$\lambda_e = \alpha C_p \mu_e \quad (۱۱)$$

$\alpha$  معکوس عددی پرانتل است که براساس فرمول تحلیلی زیر به دست می‌آید [۹].

$$\left| \frac{\alpha - 1.3929}{\alpha_0 - 1.3929} \right|^{0.6321} \left| \frac{\alpha - 2.3929}{\alpha_0 - 2.3929} \right|^{0.3679} = \frac{\mu}{\mu_e} \quad (۱۲)$$

که در آن، عکس عدد پرانتل در شرایط دمای مرجع،  $\alpha_0$  به صورت زیر محاسبه می‌شود.

$$\alpha_0 = \frac{\lambda}{\mu C_p} \quad (۱۳)$$

### ۲-۳- مشخصات ترمودینامیکی مخلوط

چگالی، لزجت، ضریب گرمای ویژه و هدایت حرارتی مخلوط براساس خواص گونه‌ها در مخلوط با توجه به قانون اختلاط گاز ایده‌آل به فرم زیر محاسبه می‌شوند [۹].

$$\rho = \frac{p_{op} + p}{RT \sum_{i'} \frac{Y_{i'}}{M_{i'}}} \quad (۱۴)$$

$$C_p = \sum_{i'} Y_{i'} C_{p,i'} \quad (۱۵)$$

$$\lambda = \sum_{i'} \frac{X_{i'} \lambda_{i'}}{\sum_{j'} X_{j'} \varphi_{i',j'}} \quad (۱۶)$$

$$\mu = \sum_{i'} \frac{X_{i'} \mu_{i'}}{\sum_{j'} X_{j'} \varphi_{i',j'}} \quad (۱۷)$$

که در آن،  $R$  ثابت جهانی گازها و  $M_{i'}$  جرم مولکولی گونه  $i'$  است.  $p_{op}$  فشار عملکردی و پارامتر  $\varphi_{i',j'}$  عبارت است از:

$$\varphi_{i',j'} = \frac{\left[ 1 + \left( \frac{\mu_{i'}}{\mu_{j'}} \right)^{\frac{1}{2}} \left( \frac{M_{j'}}{M_{i'}} \right)^{\frac{1}{4}} \right]^2}{\left[ 8 \left( 1 + \frac{M_{i'}}{M_{j'}} \right) \right]^{\frac{1}{2}}} \quad (۱۸)$$

**۷-۳- مدل سازی نرخ تولید و مصرف گونه‌ها**  
 از مدل اتلاف گردابی به منظور محاسبه نرخ تولید و مصرف گونه‌ها در معادله جرم استفاده شده است. خروجی این مدل به عنوان جمله چشممه در معادله (۱) استفاده می‌شود. مقدار منبع گونه  $i'$  در  $N_R$  واکنش به صورت زیر محاسبه می‌شود [۹].

$$R_{i'} = M_{i'} \sum_{k=1}^{N_R} R_{i',k} \quad (۲۷)$$

که در آن،  $R_{i',k}$  نرخ مولی تولید و مصرف گونه  $i'$  در واکنش  $k$  است.

#### ۴- فرآیند شبیه‌سازی عددی

فرآیند شبیه‌سازی عددی احتراق در کوره واحد آمونیاک پتروشیمی رازی با استفاده از نرم‌افزار انسیس فلوئنت انجام شده است. جنس کویل مارپیچ از فولاد با خواص جدول ۲ درنظر گرفته شده است.

مطابق با شکل ۳ و براساس شرایط عملیاتی واقعی کوره، برای ورودی کویل از شرط مرزی دی جرمی ورودی برابر با ۵۲۴/۸۲ کیلوگرم بر ثانیه برای آمونیاک در دمای ۲۰/۵ کلوین استفاده شده است. به دلیل در دسترس نبودن اطلاعات فشار در خروجی کویل، از شرط مرزی دی جرمی خروجی آمونیاک استفاده شده است. سوخت با دبی ۰/۰۵۵۷ کیلوگرم بر ثانیه و هوا با نسبت هم‌ارزی ۰/۸۳۳ معادل ۱/۱۵ کیلوگرم بر ثانیه هر دو در دمای ۳۰۰ کلوین وارد کوره می‌شوند. برای خروجی کوره از شرط مرزی فشار خروجی در اتمسفر استفاده شده است. دیواره‌های کوره در تماس با هوا می‌باشند؛ بنابراین از شرط مرزی هم‌رفت برای دیواره‌های کوره استفاده شده است. برای سطح تماس آمونیاک و دیواره داخلی کویل و سطح تماس دیواره خارجی کویل و کوره نیز از شرط مرزی کوپل استفاده شده است. روش پادبادسو مرتبه دو جهت محاسبه شارهای روش حجم محدود انتخاب شده است.

جدول ۲- خواص فولاد کویل مارپیچ کوره

$\rho (kg/m^3)$	$C_p (J/kg.K)$	$\lambda (W/m.K)$
۸۰۳۰	۵۰۲/۴۸	۱۶/۲۷

عکس نسبت هم‌ارزی بیانگر درصد هوای اضافی است. انرژی حاصل از واکنش شیمیایی به معادله انرژی به عنوان جمله چشممه اضافه می‌شود.

#### ۵-۳- مدل تشعشع

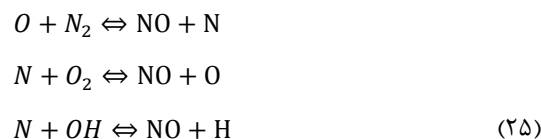
از مدل مختصات گسسته برای محاسبه اثرات انتقال حرارت تشعشعی در کوره استفاده شده است [۲۶]. رابطه این مدل به صورت (۲۴) است.

$$\frac{dI(\vec{r}, \vec{s})}{ds} + (a + \sigma_s)I(\vec{r}, \vec{s}) = an^2 \frac{\sigma T^4}{\pi} + \frac{\sigma_s}{4\pi} \int_0^{4\pi} I(\vec{r}, \vec{s}') \phi(\vec{s} \cdot \vec{s}') d\Omega' \quad (۲۴)$$

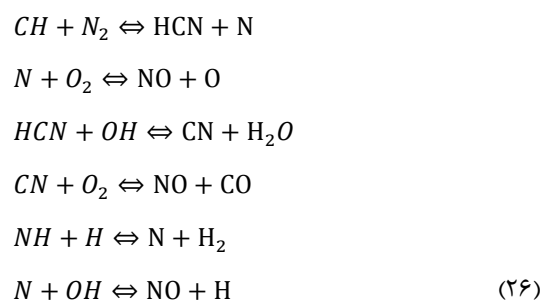
که در آن،  $r$  بردار مکان،  $s$  بردار پراکندگی،  $I$  شدت تشعشع،  $\sigma_s$  ضریب جذب،  $\sigma_t$  ضریب پراکندگی،  $n$  ضریب شکست،  $\phi$  بردار راستای پراکندگی،  $\theta$  تابع فاز،  $\Omega'$  زاویه فضایی و  $a$  ثابت استفان-بولتزمن است.

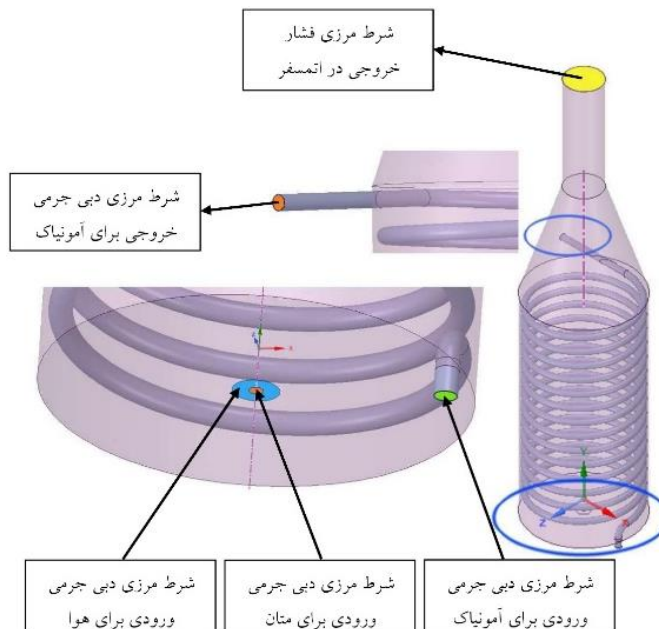
#### ۶-۳- مکانیزم تولید آلاینده‌ها

در احتراق دما بالا، نیتروژن هوا امکان واکنش با اکسیژن را پیدا می‌کند و در نتیجه اکسیدهای نیتروژن شکل می‌گیرند که این فرآیند با مکانیزم دمایی زلدوبیچ به صورت زیر مدل‌سازی می‌شود [۲۷].

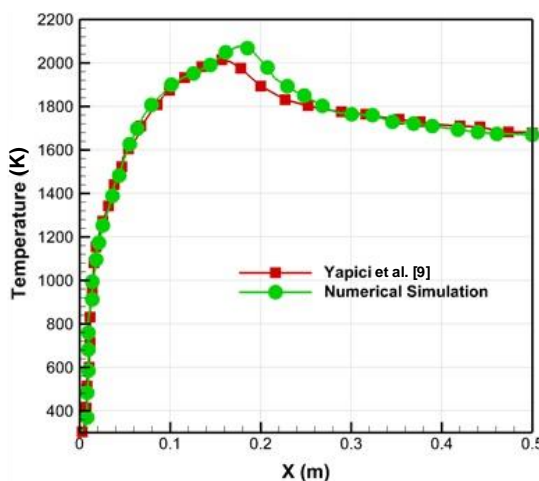


علاوه بر این، اگر فرصت کافی به سوخت و هوا برای اشتعال مناسب داده نشود، این شرایط می‌تواند منجر به تشکیل اکسیدهای نیتروژن گردد که با مکانیزم سریع فنیمور به صورت زیر مدل می‌شود [۲۸].





شکل ۳- جانمایی شرایط مرزی



شکل ۴- نتایج توزیع دما مطالعه حاضر روی محور مرکزی کوره مدل یاپاچی و همکاران [۹]

برای اطمینان از عدم وابستگی نتایج حل عددی به شبکه محاسباتی، در شکل ۵ تغییرات دمای خروجی کوره برای ۴ شبکه تولید شده با تعداد المان‌های متفاوت نمایش داده شده است. از مطالعه شکل ۵ و جدول ۴ مشخص می‌شود که با حل عددی شبکه‌های محاسباتی سوم و چهارم، دمای خروجی کوره بسیار نزدیک به هم است و جواب‌ها  $0/6$  درصد تفاوت دارند؛ بنابراین شبکه شماره ۳ با تعداد المان ۳۱۶۵۳۴۹

همگرایی معادلات مساله بر اساس روش تکرار شبه‌گذرا با زمان تنظیم شده است. ضایعه زیر تخفیف در صورت عدم همگرایی به روزرسانی شده‌اند. در جدول ۳ ضایعه زیر تخفیف نهایی برای حل عددی گنجانده شده است. در صورت عدم همگرایی مساله، معادله تشبع در تکرارهای اولیه غیرفعال می‌شود. پس از آنکه حل عددی به پایداری رسید، معادله تشبع فعل می‌شود. سپس تکرارها تا رسیدن مساله به همگرایی ادامه می‌یابد. در نهایت پس از آنکه مساله به همگرایی رسید، معادله‌های پیش‌بینی‌کننده  $\text{NO}_x$  فعال می‌شوند و مجدد تکرارها تا رسیدن حل به همگرایی ادامه می‌یابند. دقت روش عددی برای حل معادله پیوستگی  $10^{-5}$  و برای سایر معادلات  $10^{-4}$  در نظر گرفته شده است.

## ۵- نتایج عددی و بحث

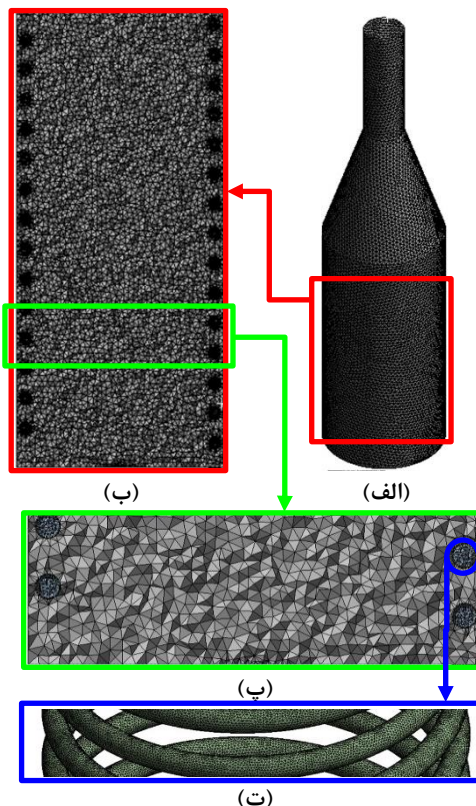
در ابتدا جهت تایید روش حل عددی، محل بیشینه دمای شعله به دست آمده از حل عددی با نتایج کوره مدل یاپاچی و همکاران [۹] مقایسه شده است. در شکل ۴ نتایج شبیه‌سازی مطالعه حاضر و مدل یاپاچی و همکاران آورده شده است. حداقل خطای حل عددی با مدل یاپاچی و همکاران ۳/۷۱ درصد به دست آمده است.

یک درصدی نشان از دقت ۹۹ درصدی فرآیند و نتایج شبیه‌سازی حل عددی دارد. بر اساس این دقت، کانتورهای دما، سرعت، چگالی و کسر جرمی گونه‌ها در شکل ۷ ارائه شده است.

در ادامه به ارائه نتایج تاثیر نسبت‌های همارزی ۱،  $0/714$ ،  $0/833$  و  $0/825$  پرداخته شده است که به ترتیب معادل میزان هوای اضافی صفر،  $۴۰$  و  $۶۰$  درصد است. دبی جرمی هوای ورودی به کوره برای این نسبت‌های همارزی به ترتیب برابر با  $۰/۹۶$ ،  $۱/۱۵$ ،  $۱/۳۵$  و  $۱/۵۴$  کیلوگرم

جدول ۴- مقایسه مقدار دمای خروجی کویل در شبیه‌سازی عددی با داده‌های تجربی

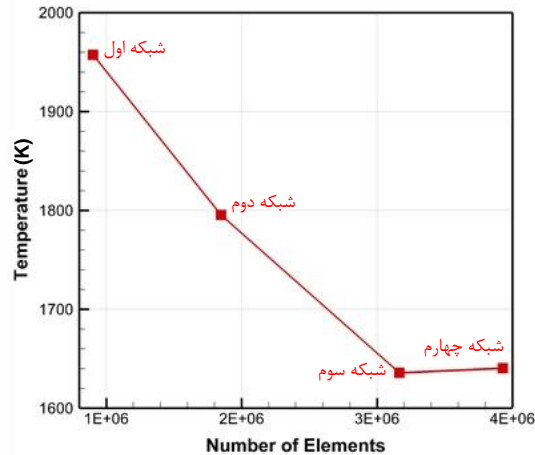
خطا (%)	داده تجربی (کلوین)	شبیه‌سازی عددی (کلوین)
۱/۰	۶۱۶/۴۸۳	۶۱۰/۱۴۶



شکل ۶- شبکه محاسباتی تولیدشده (الف) کوره، (ب) برش عمودی کوره، (پ) نمای نزدیک از برش عمودی کوره و (ت) سطح کویل

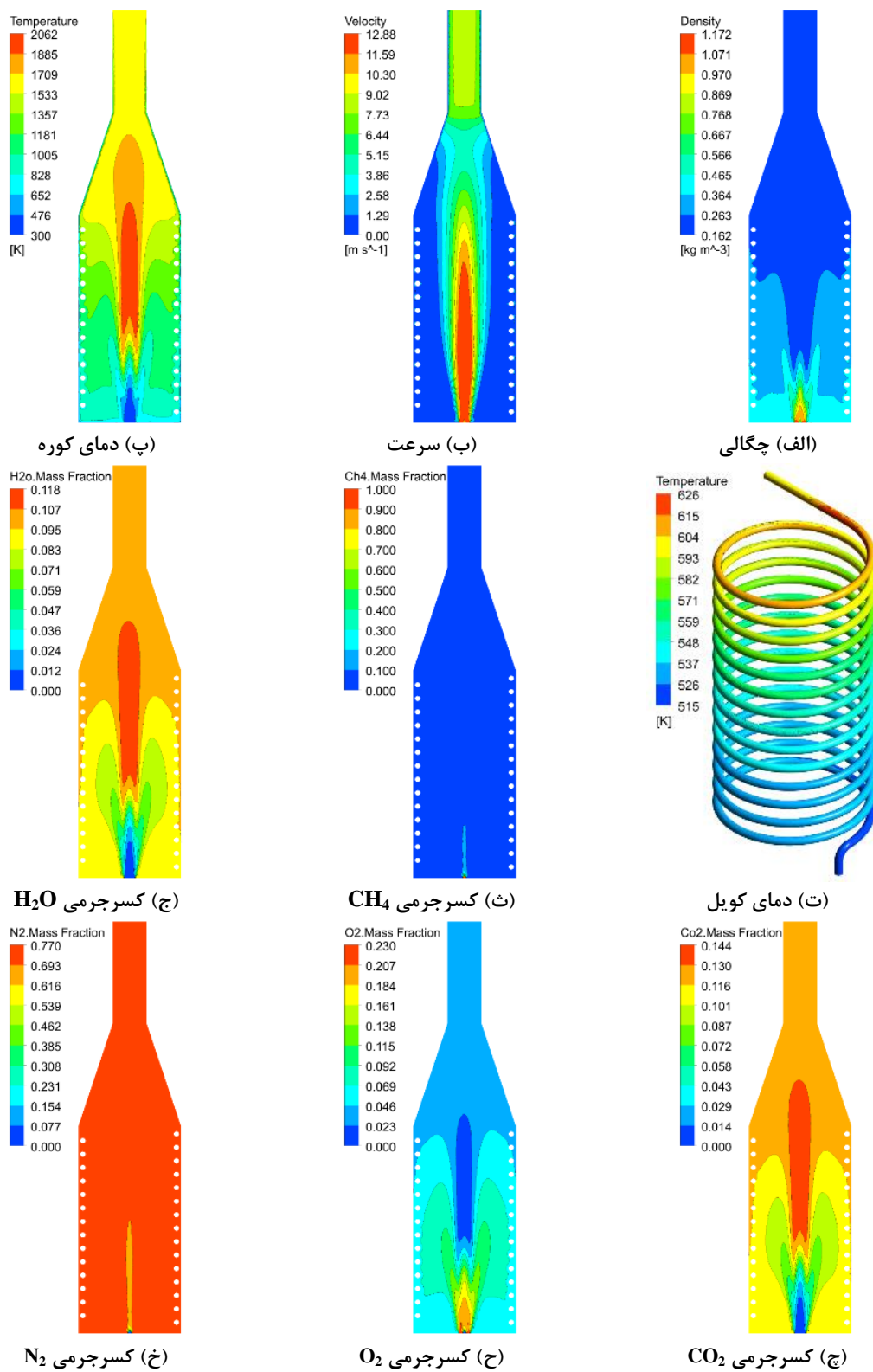
جدول ۳- مقادیر ضرایب زیر تخفیف برای حل عددی

متغیر	مقدار
فشار	۰/۵
مومنتوم	۰/۵
چگالی	۰/۲۵
انرژی جنبشی آشفتگی	۰/۷۵
نرخ اضمحلال آشفتگی	۰/۷۵
لزج آشفتگی	۱
متان، اکسیژن، دی‌اکسیدکربن، آب	۰/۷۵
آلاینده	۰/۷۵
واریانس دما	۰/۷۵
انرژی	۰/۷۵
مختصات گسسته	۱

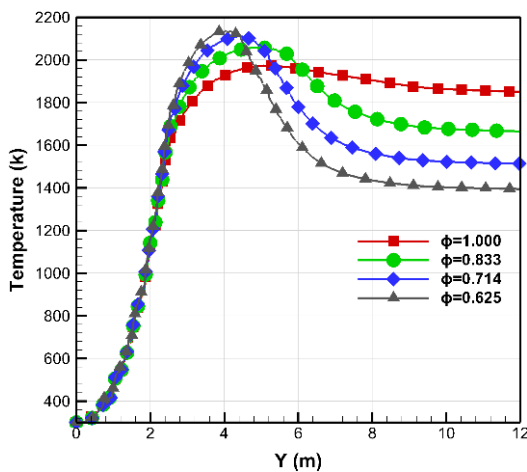


شکل ۵- مطالعه استقلال حل از شبکه

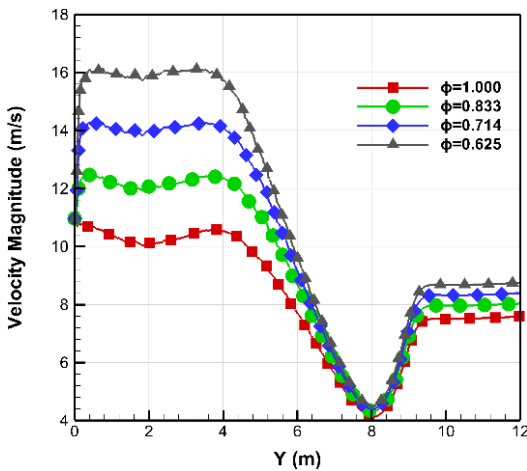
به عنوان شبکه محاسباتی نهایی انتخاب شده است. نمایی از این شبکه در شکل ۶ نشان داده شده است. دمای خروجی کویل مارپیچ به دست آمده از حل عددی با داده‌های تجربی تهیه شده توسط دفتر فنی شرکت پتروشیمی رازی جهت اعتبارسنجی در جدول ۴ مقایسه شده‌اند. همان‌طور که مشاهده می‌شود، خطای بسیار ناجیز



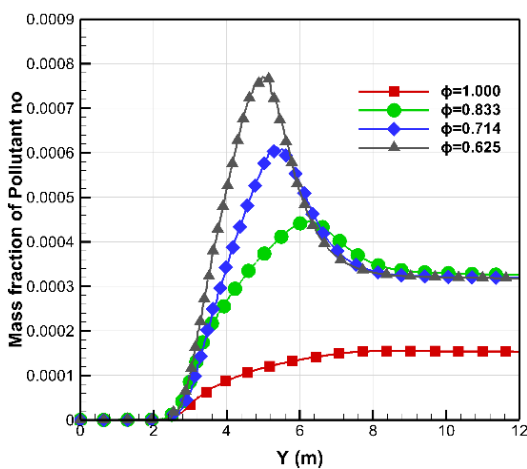
شکل ۷- کانتور پارامترهای مورد مطالعه



شکل ۸- تاثیر نسبت همارزی بر دما روی محور مرکزی کوره



شکل ۹- تاثیر نسبت همارزی بر سرعت در مرکز کوره

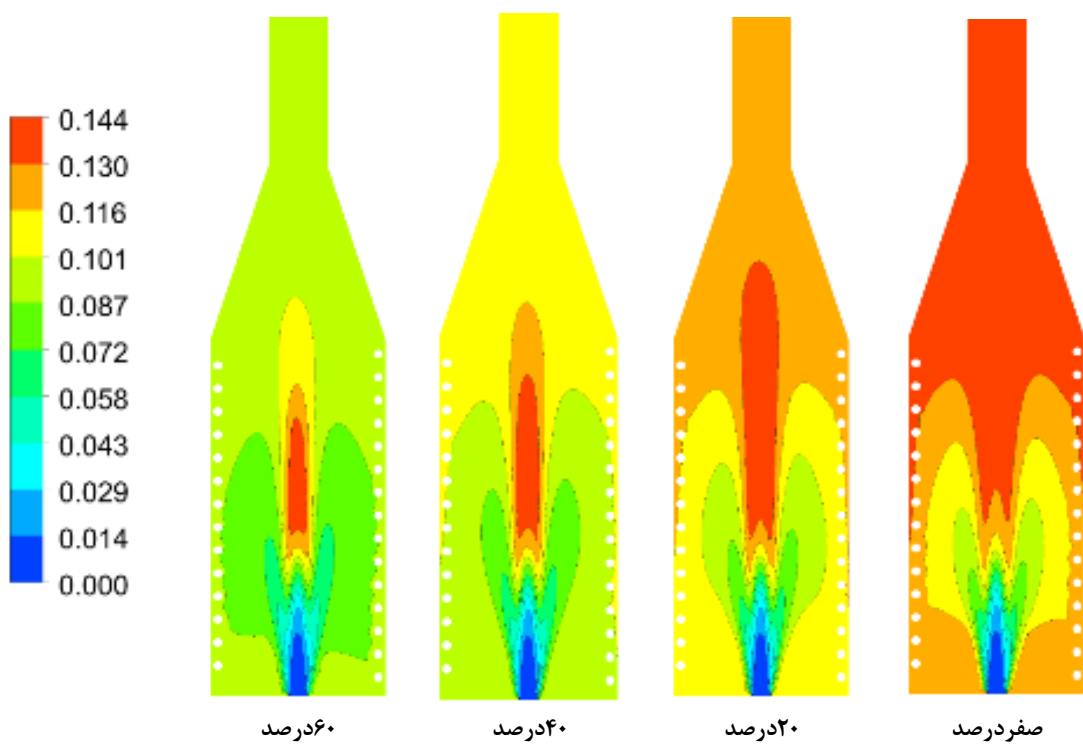


شکل ۱۰- تاثیر نسبت همارزی بر توزیع تولید آلاینده‌ها در امتداد محور مرکزی کوره

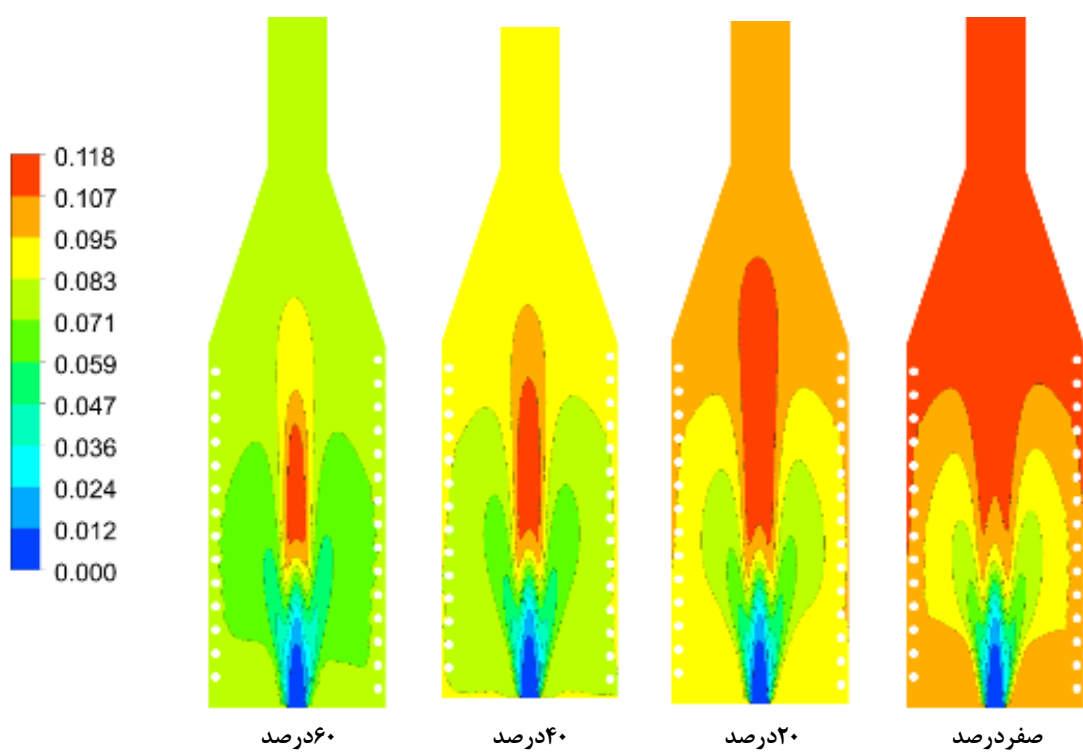
بر ثانیه به دست می‌آید. در شکل ۸ تاثیر نسبت همارزی بر دما روی محور مرکزی کوره (راستای محور Y در شکل ۱-ب) آورده شده است. همان‌طور که مشاهده می‌شود، با کاهش نسبت همارزی، دمای خروجی کوره کاهش می‌یابد. دلیل این امر، دمای پایین‌تر هوای اضافی و اختلاط آن با هوای موجود در کوره است. دلیل دمای بالاتر در خروجی کوره، برای نسبت همارزی بالاتر، فرصت بیش‌تر جریان‌های مختلف به منظور اختلاط بهتر داخل کوره است. در شکل ۹ تاثیر نسبت همارزی بر سرعت روی محور مرکزی کوره نمایش داده شده است. با کاهش نسبت همارزی، اندازه سرعت جریان سیال در کوره افزایش می‌یابد. این مطلب زمان ماندگاری سوخت در داخل کوره را کاهش می‌دهد. به عبارت دیگر، مقادیر سرعت در حالتی که هوای اضافی وجود دارد، بسیار بیش‌تر از حالتی است که هوای اضافی وجود ندارد که باعث اختلاط کمتر جریان در کوره می‌شود.

در شکل ۱۰ تاثیر نسبت همارزی بر تولید آلاینده در راستای محور مرکزی کوره آورده شده است. همان‌طور که مشاهده می‌شود با کاهش نسبت همارزی، مقدار آلاینده NO<sub>x</sub> افزایش می‌یابد. به منظور روش‌تر شدن علت افزایش تولیدی، باید نحوه تغییرات دمای بیشینه درون کوره را بررسی کرد. همان‌طور که در نمودار توزیع دمای شکل ۸ مشاهده می‌شود، با کاهش نسبت همارزی تا ۰/۶۲۵، دمای بیشینه درون هسته فرآیند احتراق تا مقدار بیشینه ۲۱۴۳ کلوین افزایش می‌یابد. با توجه به آن که بیش‌ترین مقدار NO<sub>x</sub> در جایی تولید می‌شود که بیش‌ترین دمای احتراق وجود دارد، بنابراین روش است که با افزایش دمای بیشینه درون کوره، NO<sub>x</sub> تولیدی افزایش یابد.

شکل ۱۱ و شکل ۱۲ کانتور تولید محصولات احتراق به ترتیب مربوط به دی‌اکسید کربن و بخار آب درون کوره را نشان می‌دهند. از آنجا که در اینجا دی سوخت ثابت است و دی‌ها افزایش می‌یابد، میزان تولید محصولات احتراق (دی‌اکسید کربن و بخار آب) متناسب با کاهش نسبت همارزی، کاهش می‌یابد. همان‌طور که از نمودارها مشاهده می‌شود، رفتار تولید محصولات احتراق در ابتدای محفظه کوره یکسان است. هرچه به انتهای کوره نزدیک‌تر می‌شود، مقدار تولید محصولات احتراق با کاهش نسبت همارزی هوا به سوخت متناسب است؛ اما با نسبت درصد هوای اضافی این



شکل ۱۱- کانتور توزیع کسر جرمی  $\text{CO}_2$  در درصدهای هوای اضافی مختلف



شکل ۱۲- کانتور توزیع کسر جرمی  $\text{H}_2\text{O}$  در درصد هوای اضافی متفاوت

## ۷- مراجع

- [1] Barten H (2005) International Energy Agency. Electricity/heat in world in.
- [2] EV, D.S.A. (2011) CO<sub>2</sub> emissions from fuel combustion.
- [3] Jia Y, Zhou W, Tang J, Luo Y (2020) Design optimization and cfd evaluation of a volute swirl burner with central gas supply. *J Braz Soc Mech Sci* 42.
- [4] Silva Neto GC, Chui DS, Martins FP, Fleury AT, Furnari F, Trigo FC (2021) Identification of co<sub>2</sub> and o<sub>2</sub> emissions dynamics in a natural gas furnace through flame images, armax models, and kalman filtering. *J Braz Soc Mech Sci* 43.
- [5] Mancini M, Weber R, Bollettini U (2002) Predicting NO<sub>x</sub> emissions of a burner operated in flameless oxidation mode. *Proceedings of the combustion institute* 29(1): 1155-1163.
- [6] Yang W, Blasiak W (2005) Numerical study of fuel temperature influence on single gas jet combustion in highly preheated and oxygen deficient air. *Energy* 30(2-4): 385-398.
- [7] Vuthaluru R, Vuthaluru HB (2006) Modelling of a wall fired furnace for different operating conditions using FLUENT. *Fuel Process Technol* 87(7): 633-639.
- [8] De A, Oldenhof E, Sathiah P, Roekaerts D (2011) Numerical simulation of delft-jet-in-hot-coflow (djhc) flames using the eddy dissipation concept model for turbulence-chemistry interaction. *Flow Turbulence Combust* 87(4): 537-567.
- [9] Yapıcı H, Kayataş N, Albayrak B, Baştürk G (2005) Numerical calculation of local entropy generation in a methane-air burner. *Energ Convers Manage* 46(11-12): 1885-1919.
- [10] Saario A, Rebola A, Coelho P, Costa M, Oksanen A (2005) Heavy fuel oil combustion in a cylindrical laboratory furnace: measurements and modeling. *Fuel* 84: 359-369.
- [11] Elorf A, Sarh B (2019) Excess air ratio effects on flow and combustion characteristics of pulverized biomass (olive cake). *Case Stud Therm Eng* 13: 100367.
- [12] Tu Y, Xu S, Xie M, Wang Z, Liu H (2021) Numerical simulation of propane MILD combustion in a lab-scale cylindrical furnace. *Fuel* 290: 119858.
- [۱۳] عباسی س.ح، امی فالف، صیبوحی ز (۱۳۹۹) مطالعه عددی مشخصات جریان در یک محفظه احتراق پاشش مستقیم رقیق تک المان. نشریه علمی مکانیک سازه‌ها و شاره‌ها ۱۰(۴): ۲۸۷-۳۰۲.

مطلوب بر عکس است. دلیل آن در مکان تشکیل شعله است. هر چه میزان درصد هوای اضافی بیشتر شود، سرعت هوای افزایش می‌یابد؛ در نتیجه سوخت و هوای بهتر مخلوط شده و شعله نزدیک‌تر به ابتدای محفظه تشکیل می‌شود. در این حالت واکنش زودتر انجام شده و پایان می‌پذیرد؛ بنابراین تولید محصولات سرعت بیشتری می‌یابد و محصولات زودتر تشکیل شده و به طول کمتری از محفظه نیاز است.

## ۵- نتیجه‌گیری پایانی

در این مقاله، احتراق گاز متان با هوای در کوره استوانه‌ای عمودی واحد آمونیاک پتروشیمی رازی جهت ارزیابی تاثیر نسبت همارزی هوای-سوخت حل عددی شده است. بررسی نتایج نشان داد، دمای خروجی کوره با کاهش نسبت همارزی به دلیل دمای پایین‌تر هوای اضافی و اختلاط آن با هوای موجود در کوره کاهش می‌یابد؛ اما به عکس، اندازه سرعت جریان سیال در کوره افزایش می‌یابد. در صورت وجود هوای اضافی شکل شعله تغییر می‌کند. در این حالت احتراق در یک ناحیه محدودتر صورت می‌گیرد. دمای بالاتری در مرکز شعله پدید می‌آید و طول شعله کاهش می‌یابد.

میزان تولید محصولات احتراق با کاهش نسبت همارزی متعاقباً کاهش می‌یابد. تولید محصولات در سرعت‌های پایین هوا با سرعت کمتری در ابتدای محفظه کوره همراه است. سرعت تولید هر چه به انتهای کوره نزدیک‌تر می‌شود، بیشتر می‌شود؛ اما در سرعت‌های بالاتر هوای این امر بر عکس است. با افزایش درصد هوای اضافی، سوخت و هوای بهتر مخلوط می‌شود و شعله نزدیک‌تر به ابتدای محفظه تشکیل می‌شود. در این حالت واکنش زودتر انجام می‌شود و میزان کسر جرمی سوخت کم می‌شود. در صورتی که واکنش با هوای اضافی انجام گیرد، مقداری اکسیژن از انتهای محفظه کوره خارج می‌شود. در سرعت‌های بالای هوا سرعت مصرف اکسیژن بیشتر است و در طول محفظه این سرعت کاهش پیدا می‌کند. در نهایت با اتمام واکنش، مصرف اکسیژن متوقف می‌شود و مقدار اکسیژن اضافی از انتهای محفظه خارج می‌شود.

## ۶- تشکر و قدردانی

این مقاله توسط دانشگاه شهید چمران اهواز تحت قرارداد پژوهانه شماره SCU.EM99.26639 پشتیبانی شده است.

- وروای و طول محفظه بر دینامیک شعله پیش‌آمیخته جزیی در راکتورهای ابعاد مزو استوانه‌ای شکل با قطر ثابت و طول‌های مختلف. ماهنامه علمی-پژوهشی مهندسی مکانیک مدرس (۱۲): ۲۶۹۷-۲۷۰۸.
- [۲۱] حاتمی م، قلی‌پور ع (۱۴۰۰) مطالعه تجربی و بهینه‌سازی عددی پارامترهای هندسی مشعل در کوره پیش‌گرم خط پرس مجتمع صنعتی فولاد اسفراین. ماهنامه علمی-پژوهشی مهندسی مکانیک مدرس (۷): ۴۷۹-۴۸۸.
- [۲۲] میرباقری م، مظاہری ک، ابراهیمی‌فردویی الف، علی‌پور عر (۱۳۹۹) مطالعه عددی تاثیر توان مشعل شعله تخت بر ایجاد توزیع دمای یکواخت در کوره‌های کراکینگ. نشریه مهندسی مکانیک امیرکبیر ۱۳۷۹-۱۳۹۶ (۶): ۵۲.
- [۲۳] White FM (2011) Fluid Mechanics. 7<sup>th</sup> Edition, McGraw-Hill.
- [۲۴] Zhang C, Ishii T, Hino Y, Sugiyama S (2000) The numerical and experimental study of non-premixed combustion flames in regenerative furnaces. J Heat Transfer 122(2): 287-293.
- [۲۵] Cengel YA, Boles MA (2015) Thermodynamics: An Engineering Approach. 8<sup>th</sup> Edition, McGraw-Hill.
- [۲۶] Yang X, Clements A, Szuhánszki J, Huang X, Moguel OF, Li J, Gibbins J, Liu Zh, Zheng Ch, Ingham D, Ma L, Nimmo B (2018) Prediction of the radiative heat transfer in small and large scale oxy-coal furnaces. Appl. Energy 211: 523-537.
- [۲۷] Zel'dovich YB (1946) The oxidation of nitrogen in combustion explosions. Acta Physicochimica U.S.S.R. 21: 577-628.
- [۲۸] van Essen VM, Sepman AV, Mokhov AV, Levinsky HB (2007) The effects of burner stabilization on Fenimore NO formation in low-pressure, fuel-rich premixed CH<sub>4</sub>/O<sub>2</sub>/N<sub>2</sub> flames. P Combust Inst 31(1): 329-337.
- [۱۴] موسوی‌ترشیزی س.الف، رفیعی ع، سعادتی الف (۱۳۸۴) شبیه‌سازی مشعل‌های نیروگاه شازند به روش عددی و بررسی اثر هوای اولیه بر شکل و محل شعله. بیستمین کنفرانس بین‌المللی برق، تهران، ایران.
- [۱۵] سهرابی‌کاشانی الف (۱۳۸۴) افزایش راندمان احتراق در بویلهای نیروگاهی از طریق تنظیم هوای اضافی. اولین کنفرانس احتراق ایران، دانشگاه تربیت مدرس، تهران، ایران.
- [۱۶] جلیلی‌مهر م، مقیمان م، نیازمند ح (۱۳۹۶) مطالعه اثر پیش‌گرمایش سوخت گاز طبیعی بر تشکیل دود، درخشندگی شعله و انتشار NO به روش عددی و آزمایشگاهی. نشریه علمی مکانیک سازه‌ها و شاره‌ها (۱): ۷۹-۹۰.
- [۱۷] شریعتی ع، ثقه‌الاسلامی ن (۱۳۹۷) مطالعه عددی پارامترهای اثرگذار در مشعل محیط مخلخل با ایجاد یک شیار در محور ماتریس تخلخل. نشریه علمی مکانیک سازه‌ها و شاره‌ها (۳): ۳۲۷-۳۴۰.
- [۱۸] کیانی م، باشی ح، هوشفر الف (۱۳۹۸) بررسی عددی میدان دمایی و ساختار شعله آرام گاز متان و هیدروژن در جت‌های برخورده مایل. نشریه علمی مکانیک سازه‌ها و شاره‌ها (۴): ۲۵۱-۲۶۱.
- [۱۹] حشمتی ن، میرساجدی س م (۱۳۹۹) بررسی آزمایشگاهی اثر تغییرات طول نازل مشعل بر مشخصه‌های احتراقی شعله پیش‌آمیخته چرخشی. ماهنامه علمی-پژوهشی مهندسی مکانیک مدرس (۱۰): ۲۵۰۹-۲۵۱۵.
- [۲۰] زرگرباشی ع، تابع جماعت ص، صرافان‌صادقی س، شیخ بگلو س (۱۳۹۹) بررسی تجربی اثر مشخصه‌های جریان